

УДК 547.78

## ПРЕВРАЩЕНИЯ ПРОДУКТОВ ЦИКЛОКОНДЕНСАЦИИ 2-АРИЛ-4-ДИХЛОРОМЕТИЛЕН-1,3-ОКСАЗОЛ-5(4Н)-ОНОВ С *o*-АМИНОТИОФЕНОЛОМ

В.Н.Свирипа, В.С.Броварец, А.Н.Чернега\*, Б.С.Драч

Институт биоорганической химии и нефтехимии НАН Украины,  
02094, г. Киев, ул. Мурманская, 1. E-mail: brovarets@bpci.kiev.ua

\* Институт органической химии НАН Украины

*Ключевые слова:* ненасыщенные азлактоны с дихлорометиленовой группой; *o*-аминотиофенол; реагент Лоуссона; производные 4-бензотиазол-2-ил-5-меркапто-1,3-оксазола

**Продукты региоселективной циклоконденсации 2-арил-4-дихлорометилен-1,3-оксазол-5(4Н)-онов с *o*-аминотиофенолом при помощи несложных способов превращаются в новые производные 5-гидрокси- или 5-меркапто-1,3-оксазола, содержащие в положении 4 остаток бензотиазола.**

### TRANSFORMATIONS OF THE CYCLOCONDENSATION PRODUCTS OF 2-ARYL-4-DICHLOROMETHYLENE-1,3-OXAZOL-5(4H)-ONES WITH *o*-AMINOTHIOPHENOL

V.N.Sviripa, V.S.Brovarets, A.N.Chernega, B.S.Drach

**The products of the regioselective cyclocondensation of 2-aryl-4-dichloromethylen-1,3-oxazol-5(4H)-ones with *o*-aminothiophenol are easily transformed into the new derivatives of 5-hydroxy- or 5-mercapto-1,3-oxazole containing the benzothiazole residue at position 4.**

### ПЕРЕТВОРЕННЯ ПРОДУКТІВ ЦИКЛОКОНДЕНСАЦІЇ 2-АРИЛ-4-ДИХЛОРОМЕТИЛЕН-1,3-ОКСАЗОЛ-5(4Н)-ОНІВ З *o*-АМІНОТІОФЕНОЛОМ

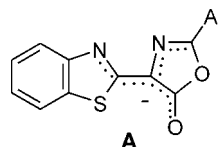
В.М.Свирипа, В.С.Броварець, О.М.Чернега, Б.С.Драч

**Продукти регіоселективної циклоконденсації 2-арил-4-дихлорометилен-1,3-оксазол-5(4Н)-онів з *o*-амінотіофенолом за допомогою нескладних способів перетворюються на нові похідні 5-гідрокси- або 5-меркапто-1,3-оксазолу, що містять у положенні 4 залишок бензотіазолу.**

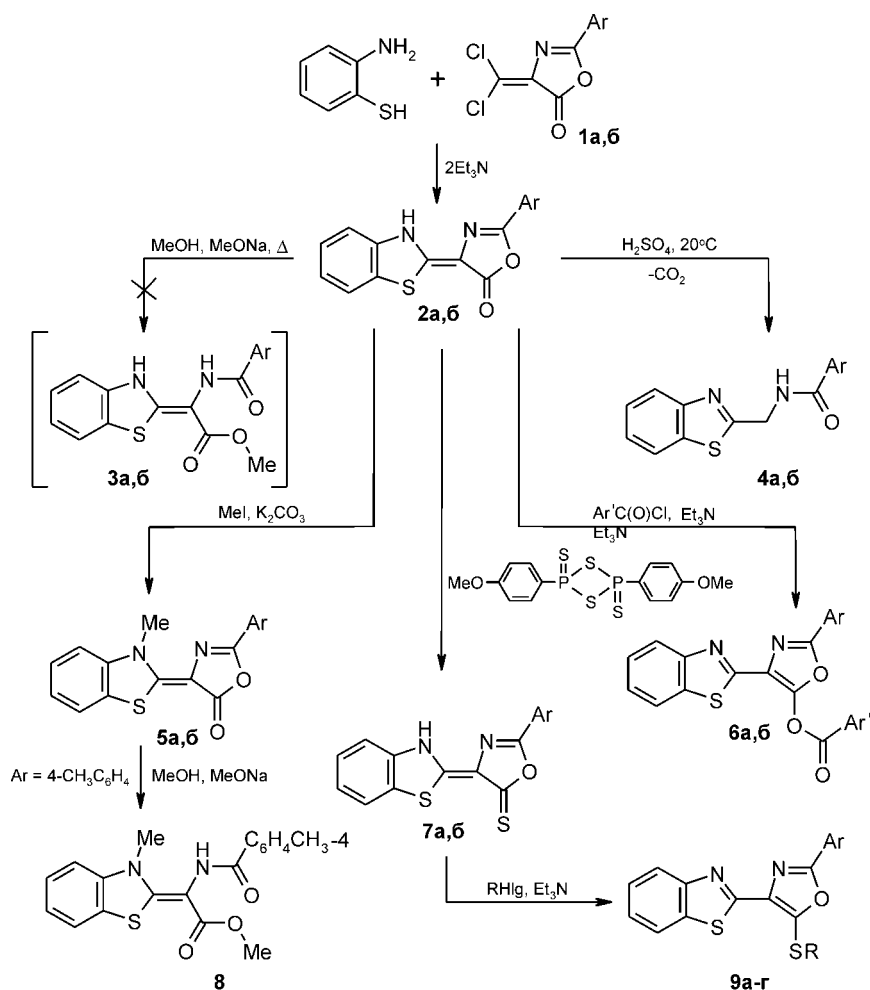
В процессе систематического исследования превращений хлоросодержащих ненасыщенных азлактонов общей формулы 1 ранее установлено, что “мягкие” нуклеофилы обычно вытесняют анионы хлора из дихлорометиленовой группы этих полицентровых электрофильных соединений, а “жесткие” нуклеофилы расщепляют в них азлактонное кольцо [1-3]. В настоящей работе показано, что азлактоны 1 вполне региоселективно взаимодействуют с *o*-аминотиофенолом в присутствии триэтиламина и дают производные 2-арил-5(4Н)-оксазолонов (2), содержащих в положении 4 2,3-дигидробензотиазолиденовый остаток. Строение их подтверждено комплексным спектральным и химическим исследованием. Так, в ИК-спектрах этих продуктов циклоконденсации найдены две интенсивные полосы поглощения в области  $1715-1720\text{ см}^{-1}$  и  $1630-1640\text{ см}^{-1}$ , которые можно отнести к валентным колебаниям связей  $\text{C}=\text{O}$  и  $\text{C}=\text{N}$  азлактонного кольца. Последнее не расщепляется при действии в мягких условиях щелочей или алкоголятов натрия, поэтому осуществить, например, превращение (2)→(3) не

удается. Однако в присутствии серной кислоты уже при  $20^\circ\text{C}$  протекает не только размыкание оксазолонового фрагмента, но и последующее декарбоксилирование, что приводит к 2-(ациламинометил)бензотиазолам (4), которые были получены ранее другим способом [4].

Различное отношение соединений 2 к сильным основаниям и кислотам обусловлено, очевидно, тем, что в первом случае образуются мезомерные анионы А, в которых электрофильность азлактонного кольца существенно понижается вследствие эффективной делокализации анионного заряда.



Интересно, что такие мезомерные анионы алкилируются и ацилируются по разным центрам [см. превращения (2)→(5) и (2)→(6) на схеме 1]. Так, при обработке соединений 2 “мягким” электрофильным агентом — метилйодидом образуются



Ar = C<sub>6</sub>H<sub>5</sub>(a), 4-CH<sub>3</sub>C<sub>6</sub>H<sub>4</sub>(б,в,г); Ar' = C<sub>6</sub>H<sub>5</sub>(a), 4-CH<sub>3</sub>C<sub>6</sub>H<sub>4</sub>(б);

R = CH<sub>3</sub>(a,б), C<sub>2</sub>H<sub>5</sub>(в), 4-CH<sub>3</sub>OC<sub>6</sub>H<sub>4</sub>NHCOCH<sub>2</sub>(г).

Схема 1

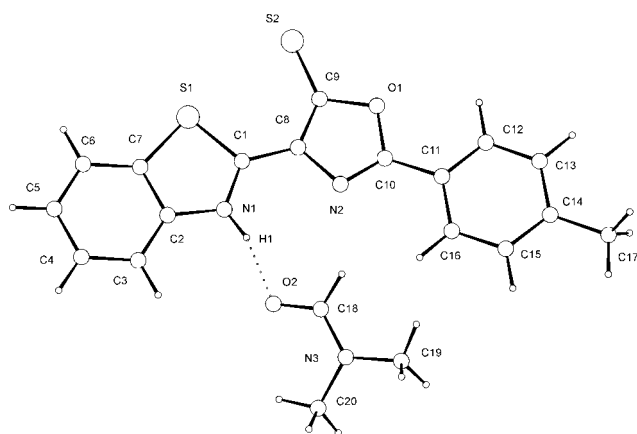


Рис. Общий вид молекулы соединения 7б (солюват с диметилформамидом) за данными РСИ.

продукты N-метилирования, а “жёсткие” ацилирующие средства направляются к O-нуклеофильному центру. Рассмотрение ИК-спектров соединений 5 и 6 показывает, что в продуктах метилирования действительно сохраняется азлактонное кольцо (см. табл. 2), которое удалось расщепить

действием метилата натрия в метаноле. Различное отношение родственных субстратов 2 и 5 к метилату натрия обусловлено тем, что только в первых соединениях имеется подвижный атом водорода и поэтому сохраняется способность превращаться в мезомерные анионы А, рассмотренные выше.

На основе доступных продуктов 2 удалось получить не только неизвестные ранее производные 5-гидрокси-1,3-оксазола 6, но и подобные производные 5-меркапто-1,3-оксазола, которые синтезированы при помощи цепи превращений (2)→(7)→(9). Строение соединения 7б — продукта взаимодействия азлактона 2б с реагентом Лоуссона однозначно подтверждено при помощи рентгеноструктурного исследования.

Общий вид молекулы соединения 7б, а также основные длины связей и валентные углы приведены на рис.

Основные длины связей (Å) и валентные углы (град.): S<sup>1</sup>-C<sup>1</sup> 1,729(3), S<sup>1</sup>-C<sup>1</sup> 1,750(4), S<sup>2</sup>-C<sup>9</sup> 1,662(4), O<sup>1</sup>-C<sup>9</sup> 1,399(4), O<sup>1</sup>-C<sup>10</sup> 1,378(4), N<sup>1</sup>-C<sup>1</sup> 1,327(5), N<sup>1</sup>-C<sup>1</sup> 1,387(4), N<sup>2</sup>-C<sup>8</sup> 1,402(4), N<sup>2</sup>-C<sup>10</sup> 1,281(5),

Таблица 1

Характеристики синтезированных соединений (2, 4-9)

Соединение	Брутто-формула	Выход, %	Т.пл., °С (растворитель)	Найдено, %		Вычислено, %	
				N	S	N	S
2a	C <sub>16</sub> H <sub>10</sub> N <sub>2</sub> O <sub>2</sub> S	78	270-272 (ДМФА)	9,45	10,85	9,51	10,89
2б	C <sub>17</sub> H <sub>12</sub> N <sub>2</sub> O <sub>2</sub> S	87	253-255 (ДМФА)	8,98	10,32	9,08	10,40
4a	C <sub>15</sub> H <sub>12</sub> N <sub>2</sub> OS	78	136-138 (C <sub>2</sub> H <sub>5</sub> OH)	10,37	11,89	10,44	11,95
4б	C <sub>16</sub> H <sub>14</sub> N <sub>2</sub> OS	83	166-168 (C <sub>2</sub> H <sub>5</sub> OH)	9,86	11,32	9,92	11,36
5a	C <sub>17</sub> H <sub>12</sub> N <sub>2</sub> O <sub>2</sub> S	91	241-243 (диоксан)	8,96	10,31	9,08	10,40
5б	C <sub>18</sub> H <sub>14</sub> N <sub>2</sub> O <sub>2</sub> S	85	253-254 (ДМФА)	9,57	9,90	8,69	9,95
6a	C <sub>23</sub> H <sub>14</sub> N <sub>2</sub> O <sub>3</sub> S	83	173-175 (циклогексан)	6,96	8,00	7,03	8,05
6б	C <sub>25</sub> H <sub>18</sub> N <sub>2</sub> O <sub>3</sub> S	98	196-197 (циклогексан)	6,49	7,58	6,57	7,52
7a	C <sub>16</sub> H <sub>10</sub> N <sub>2</sub> OS <sub>2</sub>	80	244-246 (ДМФА)	8,91	20,60	9,03	20,66
7б	C <sub>17</sub> H <sub>12</sub> N <sub>2</sub> OS <sub>2</sub>	84	261-262 (ДМФА)	8,52	19,60	8,63	19,77
8	C <sub>19</sub> H <sub>18</sub> N <sub>2</sub> O <sub>3</sub> S	76	236-237 (CH <sub>3</sub> CN:ДМФА 2:1)	7,84	7,84	9,00	7,90
9a	C <sub>17</sub> H <sub>12</sub> N <sub>2</sub> OS <sub>2</sub>	63	165-167 (CH <sub>3</sub> CN)	8,55	19,68	8,63	19,77
9б	C <sub>18</sub> H <sub>14</sub> N <sub>2</sub> OS <sub>2</sub>	70	169-170 (CH <sub>3</sub> CN)	8,19	18,80	8,28	18,95
9в	C <sub>19</sub> H <sub>16</sub> N <sub>2</sub> OS <sub>2</sub>	73	144-145 (CH <sub>3</sub> CN)	7,89	18,17	7,95	18,19
9г	C <sub>26</sub> H <sub>21</sub> N <sub>3</sub> O <sub>3</sub> S <sub>2</sub>	80	246-248 (CH <sub>3</sub> CN)	8,55	13,20	8,62	13,15

C<sup>1</sup>-C<sup>8</sup> 1,410(5), C<sup>8</sup>-C<sup>9</sup> 1,379(5), C<sup>1</sup>S<sup>1</sup>C<sup>7</sup> 90,7(2), C<sup>9</sup>O<sup>1</sup>C<sup>10</sup> 105,9(3), C<sup>1</sup>N<sup>1</sup>C<sup>2</sup> 115,4(3), C<sup>8</sup>N<sup>2</sup>C<sup>10</sup> 104,4(3), S<sup>1</sup>C<sup>1</sup>N<sup>1</sup> 112,1(3), N<sup>1</sup>C<sup>2</sup>C<sup>7</sup> 111,6(3), S<sup>1</sup>C<sup>7</sup>C<sup>2</sup> 110,3(3), N<sup>2</sup>C<sup>8</sup>C<sup>9</sup> 111,3(2), O<sup>1</sup>C<sup>9</sup>C 104,5(3). Параметры прочной водородной связи в сольвате с диметилформамидом: N<sup>1</sup>-H<sup>1</sup>...O<sup>2</sup> (N<sup>1</sup>...O<sup>2</sup> 2,682(4), H<sup>1</sup>...O<sup>2</sup> 1,80(4), N<sup>1</sup>-H<sup>1</sup> 0,91(4) Å, N<sup>3</sup>H<sup>3</sup>O<sup>1</sup> 164(2)°).

Молекула соединения 7б практически плоская: группировка S<sup>1</sup>S<sup>2</sup>O<sup>1</sup>N<sup>1</sup>N<sup>2</sup>C<sup>1-10</sup> планарна в пределах 0,036 Å°, бензольное кольцо C<sup>11-16</sup> развернуто относительно этой плоскости всего лишь на 5,4°. Распределение длин связей в данной молекуле (в частности, удлинение связи C<sup>1</sup>=C<sup>8</sup> до 1,410(5) Å° и укорочение связи C<sup>8</sup>-C<sup>9</sup> до 1,379(5) Å°, а также укорочение связей N<sup>1</sup>-C<sup>1</sup> 1,327(5) Å°, N<sup>1</sup>-C<sup>2</sup> 1,387(4) Å°, и N<sup>2</sup>-C<sup>8</sup> 1,402(4) Å° по сравнению с интервалом 1,43-1,45 Å°, характерным для чисто ординарной связи N(sp<sup>2</sup>)-C(sp<sup>2</sup>) [5], свидетельствует о существенной делокализации электронной плотности. Таким образом, кроме неполярной структуры 7, представленной на схеме, следует принимать во внимание и граничную полярную структуру Б, представленную ниже:

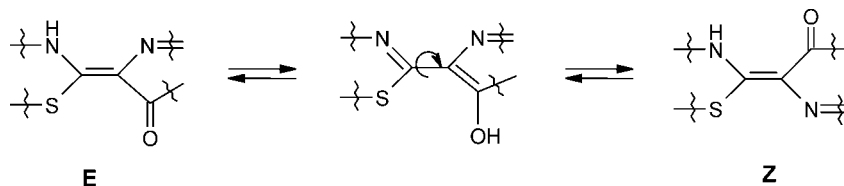
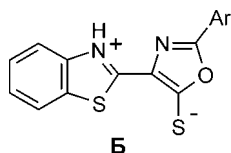


Схема 2

В отличие от азлактонов 2, которые метилируются по N-центру, их тиоаналоги 7 алкилируются по атому серы, что является ключевой стадией в препаративном синтезе первых представителей своеобразных производных 5-меркапто-1,3-оксазола (9), содержащих в положении 4 остаток бензотиазола. Отнесение указанных выше продуктов метилирования к N- и S-замещённым производным однозначно следует из данных спектров ЯМР <sup>1</sup>H, поскольку соответствующие химсдвиги сигнала метильной группы различаются более чем на 1м.д. (см. табл. 1).

В заключение укажем на сложность идентификации пространственного строения продуктов циклоконденсации 2 и родственных соединений 5, 8. Несмотря на строгое доказательство E-конфигурации соединения 7б, полученное рентгеноструктурным методом, подобное строение для родственных соединений 2, 5, 8 хотя и кажется вероятным, но всё же однозначно не установлено, поскольку для ключевых азлактонов 2 вполне можно представить пространственную изомеризацию в очень мягких условиях вследствие прототропии (схема 2).

В этом случае конечный стереохимический результат определяется не столько механизмом самой циклоконденсации (1)→(2), сколько термодинамической устойчивостью соответствующих E- и Z-изомеров.

Таблица 2

Спектральные данные для соединений (2, 4-9)

Соединение	ИК-спектр, $\nu$ , $\text{см}^{-1}$ (KBr)	Спектр ЯМР $^1\text{H}$ , $\delta$ , м.д. (DMCO- $d_6$ )
2a	1715 (C=O), 3100-3280 (NH ассоц.)	7,21-7,92 м (9H, C <sub>6</sub> H <sub>5</sub> , C <sub>6</sub> H <sub>4</sub> ), 13,31 ш.с (1H, NH)
2б	1723 (C=O), 3100-3280 (NH ассоц.)	2,39 с (3H, CH <sub>3</sub> ), 7,22-7,84 м (8H, 2C <sub>6</sub> H <sub>4</sub> )*
4a	1640 (NC=O), 3200-3350 (NH ассоц.)	4,87 д (2H, CH <sub>2</sub> ), 7,34-7,97 м (9H, C <sub>6</sub> H <sub>5</sub> , C <sub>6</sub> H <sub>4</sub> ), 9,38 т (1H, NH)
4б	1640 (NC=O), 3200-3375 (NH ассоц.)	2,39 с (3H, CH <sub>3</sub> ), 4,85 д (2H, CH <sub>2</sub> ), 7,27-8,00 м (8H, 2C <sub>6</sub> H <sub>4</sub> ) 9,38 т (1H, NH)
5a	1720 (C=O), 3100-3600 (полосы отсутствуют)	4,30 с (3H, NCH <sub>3</sub> ), 7,30-7,90 м (9H, C <sub>6</sub> H <sub>5</sub> , C <sub>6</sub> H <sub>4</sub> )
5б	1720 (C=O), 3100-3600 (полосы отсутствуют)	2,35 с (3H, CH <sub>3</sub> ), 4,30 с (3H, NCH <sub>3</sub> ), 7,23-7,83 м (8H, 2C <sub>6</sub> H <sub>4</sub> )
6a	1730 (OC=O), 3100-3600 (полосы отсутствуют)	7,29-7,80 м (14H, 2C <sub>6</sub> H <sub>5</sub> , C <sub>6</sub> H <sub>4</sub> )
6б	1715 (OC=O), 3100-3600 (полосы отсутствуют)	2,34 с (3H, CH <sub>3</sub> ), 2,36 с (3H, CH <sub>3</sub> ), 7,19-8,03 м (12H, 3C <sub>6</sub> H <sub>4</sub> )
7a	1620-1800 (полосы отсутствуют), 3200-3600 (NH ассоц.)	7,42-8,15 м (9H, C <sub>6</sub> H <sub>5</sub> , C <sub>6</sub> H <sub>4</sub> )*
7б	1620-1800 (полосы отсутствуют), 3200-3600 (NH ассоц.)	2,39 с (3H, CH <sub>3</sub> ), 7,37-8,15 м (8H, 2C <sub>6</sub> H <sub>4</sub> )*
8	1660 (NC=O), 1680 (OC=O), 3380 (NH)	2,40 с (3H, CH <sub>3</sub> ), 3,60 с, 3,62 с (6H, NCH <sub>3</sub> , OCH <sub>3</sub> ), 7,09-7,87 м (8H, 2C <sub>6</sub> H <sub>4</sub> ), 9,24 с (1H, NH)
9a	1620-1800, 3100-3600 (полосы отсутствуют)	2,78 с (3H, CH <sub>3</sub> ), 7,43-8,10 м (9H, C <sub>6</sub> H <sub>5</sub> , C <sub>6</sub> H <sub>4</sub> )
9б	1620-1800, 3100-3600 (полосы отсутствуют)	2,41 с (3H, CH <sub>3</sub> ), 2,76 с (3H, CH <sub>3</sub> ), 7,33-8,08 м (8H, 2C <sub>6</sub> H <sub>4</sub> )
9в	1620-1800, 3100-3600 (полосы отсутствуют)	1,41 т (3H, CH <sub>3</sub> ), 2,41 с (3H, CH <sub>3</sub> ), 3,25 кв (2H, CH <sub>2</sub> ), 7,34-8,09 м (8H, 2C <sub>6</sub> H <sub>4</sub> )
9г	1665 (NC=O), 3270 (NH)	2,41 с (3H, CH <sub>3</sub> ), 3,72 с (3H, OCH <sub>3</sub> ), 4,09 с (2H, CH <sub>2</sub> ), 6,79-8,11 м (12H, 3C <sub>6</sub> H <sub>4</sub> ), 10,13 с (1H, NH)

\* Сигнал протона связи N-H не обнаружен.

#### Экспериментальная часть

ИК-спектры соединений записывали на спектрометре Specord M-80 в таблетках с KBr. Спектры ЯМР  $^1\text{H}$  получали на приборе Varian VXR-300 для растворов веществ в DMCO- $d_6$ , внутренний стандарт — TMS.

**2-Арил-4-(2,3-дигидробензо[1,3]тиазол-2-иден)-1,3-оксазол-5(4H)-оны (2a,б, табл. 1).** К суспензии 0,04 Моль азлактона 1a или 1б в 100 мл тетрагидрофурана при охлаждении ледяной водой и перемешивании добавляли 8,6 г (0,085 Моль) триэтиламина и раствор 5 г (0,04 Моль) о-аминотиофенола в 50 мл тетрагидрофурана в течение 1 ч. Смесь перемешивали 4 ч, оставляли на 24 ч при 20-25°C, осадок отфильтровывали и объединяли с продуктом, выделенным из фильтрата после упаривания растворителя. Объединенный продукт промывали водой, высушивали в вакуум-эксикаторе над пентаоксидом фосфора и перекристаллизовывали.

**2-Ациламинометилбензо[1,3]тиазолы (4a,б, табл. 1).** Раствор 0,004 Моль одного из азлактонов (2a,б) в 10 мл конц. H<sub>2</sub>SO<sub>4</sub> оставляли на 48 ч при 20-25°C. Смесь выливали на лед, осадок отфильтровывали, промывали водой, высушивали и очищали перекристаллизацией.

**2-Арил-4-(3-метил-2,3-дигидробензо[1,3]тиазол-2-иден)-1,3-оксазол-5(4H)-оны (5a,б, табл. 1).** Смесь 0,01 Моль азлактона 2a или 2б, 4,15 г (0,03 Моль) карбоната калия, 4,26 г (0,03 Моль) метилйодида и 40 мл ДМФА при перемешивании нагревали 5 ч

при 100°C, охлаждали, добавляли 100 мл ледяной воды, осадок отфильтровывали, высушивали в вакуум-эксикаторе над пентаоксидом фосфора и очищали перекристаллизацией.

**2-Арил-5-ацилокси-4-бензо[1,3]тиазол-2-ил)-1,3-оксазолы (6a,б, табл. 1).** К суспензии 0,003 Моль азлактона 2a или 2б в 20 мл абсолютного диоксана добавляли 0,36 г (0,003 Моль) триэтиламина и 0,003 Моль хлорангидрида соответствующей кислоты. Смесь кипятили 30 мин, отфильтровывали гидрохлорид триэтиламина, растворитель удаляли в вакууме, остаток обрабатывали водой, высушивали в вакуум-эксикаторе над пентаоксидом фосфора и перекристаллизовывали.

**2-Арил-4-(2,3-дигидробензо[1,3]тиазол-2-иден)-1,3-оксазол-5(4H)-тионы (7a,б, табл. 1).** Смесь 0,017 Моль азлактона 2a или 2б, 6,9 г (0,017 Моль) реагента Лоуссона в 35 мл диоксана кипятили 24 ч, охлаждали, осадок отфильтровывали, обрабатывали 40 мл 10%-ного раствора гидроксида натрия в течение 2-3 ч, промывали водой, высушивали в вакуум-эксикаторе над пентаоксидом фосфора и очищали перекристаллизацией.

**Метилловый эстер 2-толуиламино-2-(3-метил-2,3-дигидробензо[1,3]тиазол-2-иден) уксусной кислоты (8, табл. 1).** К суспензии 0,003 Моль азлактона 5б в 20 мл абсолютного метанола добавляли раствор 0,5 г (0,009 Моль) метилата натрия в 3 мл метанола. Смесь кипятили 30 ч, осадок отфильтровывали, промывали водой, высушивали в вакуум-эксикаторе над пентаоксидом фосфора и перекристаллизовывали.

**5-Алкилтио-2-арил-4-(бензо[1,3]тиазол-2-ил)-1,3-оксазолы (9а-г, табл. 1).** К суспензии 0,003 Моль одного из соединений 7а или 7б в 20 мл этанола добавляли 0,4 г (0,004 Моль) триэтиламина и 0,004 Моль соответствующего алкилгалогенида. Смесь кипятили 3 ч, охлаждали, осадок отфильтровывали и перекристаллизовывали.

#### Рентгеноструктурное исследование

Рентгеноструктурное исследование монокристалла соединения 7б с линейными размерами 0,12 x 0,13 x 0,37 мм проведено при комнатной температуре на автоматическом четырехкружном дифрактометре Enraf-Nonius CAD-4 (CuK $\alpha$  — излучение,  $\lambda$  1,54178 Å, отношение скоростей сканирования  $2\theta/\omega$  1,2,  $\theta_{\text{макс}}$  70°, сегмент сферы  $0 \leq h \leq 9$ ,  $-14 \leq k \leq 12$ ,  $-14 \leq l \leq 14$ ). Всего было собрано 3383 отражений. Кристаллы соединения 7б триклинные, а 7,558(3), b 11,783(4), c 12,343(4) Å,  $\alpha$  117,00(3),  $\beta$  91,41(3),  $\gamma$  98,67(3)°, V 962,8(7) Å<sup>3</sup>, M 397,5, Z 2,  $d_{\text{выч}}$  = 1,38 г/см<sup>3</sup>,  $\mu$  = 26,38 см<sup>-1</sup>, F(000) 418,3, пространственная группа P 1 (N 2). Структура расшифрована прямым методом и уточнена методом наименьших квадратов в полноматричном анизотропном приближении с использованием комплекса программ CRYSTALS [7]. В уточнении использовано 2161 отражение с  $I > 3\sigma$  (I) (248 уточняемых параметров, число отражений на параметр — 8,7). Все атомы водорода были выяв-

лены из разностного синтеза электронной плотности и включены в уточнение с фиксированными позиционными и тепловыми параметрами (лишь атом Н<sup>1</sup>, участвующий в образовании водородной связи, был уточнен изотропно). При уточнении была использована весовая схема Чебышева [8] с тремя параметрами: 2,16, 1,89 и 1,53. Окончательные значения факторов расходимости R 0,053 и R<sub>w</sub> — 0,060, GOF 1,074. Остаточная электронная плотность из разностного ряда Фурье составляет 0,27 и -0,30 е/Å<sup>3</sup>. Учет поглощения в кристалле был выполнен с помощью метода азимутального сканирования [9]. Полный набор рентгеноструктурных данных для соединения 7б задепонирован в Кэمبرиджском банке структурных данных (N 279433).

#### Выводы

1. Показано, что доступные продукты циклоконденсации 2-арил-4-дихлорометилен-1,3-оксазол-5(4Н)-онов с о-аминотиофенолом метилируются по атому азота тиазолинового фрагмента, а ацилируются по экзоциклическому атому кислорода азлактонного кольца.

2. Найдено, что указанные выше продукты циклоконденсации при последовательной обработке реагентом Лоуссона и алкилирующими средствами превращаются в новые производные 4-бензотиазол-2-ил-5-меркапто-1,3-оксазола.

#### Литература

1. Драч Б.С., Миськевич Г.Н. // *ЖОрХ*. — 1974. — Т. 10, №11. — С. 2315-2319.
2. Драч Б.С., Мартынюк А.П., Миськевич Г.Н. // *ЖОрХ*. — 1976. — Т. 12, №10. — С. 2238-2244.
3. Драч Б.С., Миськевич Г.Н., Мартынюк А.П. // *ЖОрХ*. — 1978. — Т. 14, №3. — С. 508-513.
4. Киприанов А.И., Смазня-Ильина Е.Д., Дядюша Г.Г. // *Укр. хим. журн.* — 1955. — Т. 21, №6. — С. 726-731.
5. Allen F.H., Kennard O., Watson D.G. et al. // *J. Chem. Soc. Perkin Trans. II*. — 1987. — №12. — P. S1-S19.
6. Burke-Laing M., Laing M. // *Acta Crystallogr. (B)*. — 1976. — Vol. 32, №12. — P. 3216-3224.
7. Watkin D.J., Prout C.K., Carruthers J.R., Betteridge P.W. *CRYSTALS, Issue 10. — Chemical Crystallography Laboratory, Univ. of Oxford, 1996.*
7. Carruthers J.R., Watkin D.J. // *Acta Cryst. (A)*. — 1979. — Vol. 35, №3. — P. 698-699.
8. North A.C.T., Phillips D.C., Mathews F.S. // *Acta Cryst. (A)*. — 1968. — Vol. 24, №2. — P. 351-359.

Надійшла до редакції 21.03.2006 р.